

TEMA 5- MODULADORES Y DEMODULADORES



EMISSORS I RECEPTORS

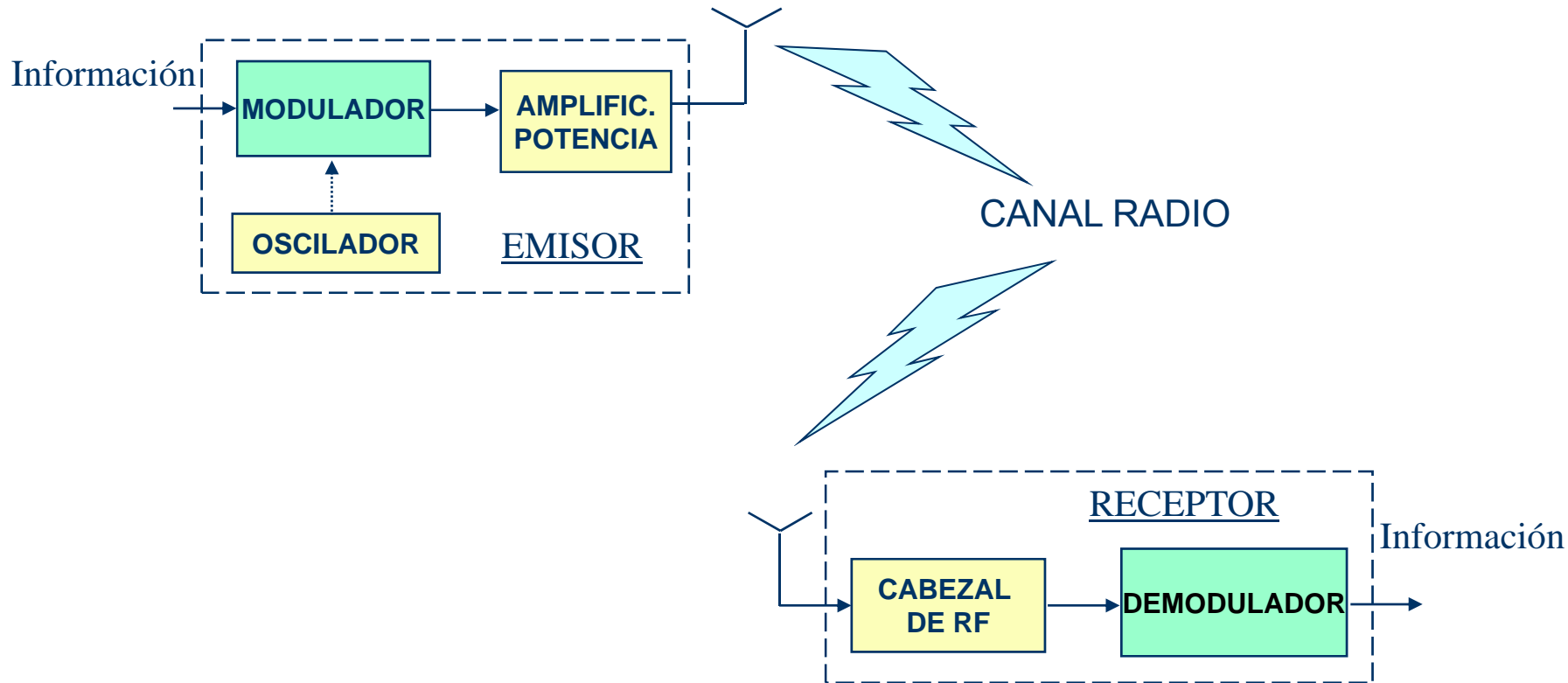
Jordi Pérez Romero
Anna Umbert Juliana

Índice

- Introducción
- Esquemas de modulación y demodulación analógicos
 - Modulador de FM
 - Demodulador de FM:
 - Demodulador no-balanceado y balanceado
 - Demodulador basado en retardo temporal
 - Demodulador basado con PLL
- Esquemas de modulación y demodulación basados en tecnología digital
 - Conceptos previos
 - Moduladores basados en tecnología digital:
 - Modulador en cuadratura
 - Modulador de FM con tecnología digital
 - Demoduladores basados en tecnología digital:
 - Extracción de componentes I-Q
 - Demodulador de envolvente con tecnología digital
 - Demodulador de frecuencia con tecnología digital

Introducción (I)

- Los emisores y receptores requieren de **moduladores** y **demoduladores** para insertar y recuperar la información de la portadora con la que viaja por el canal de comunicación.



Introducción (II)

- Las modulaciones se clasifican en dos grandes grupos:
 - MODULACIONES de AMPLITUD \Rightarrow la **amplitud** de la señal portadora varía en función de la señal moduladora. Por ejemplo:
 - AM (Amplitude Modulation)
 - ...
 - MODULACIONES ANGULARES \Rightarrow la **fase** de la señal portadora varía en función de la señal moduladora. Existen dos tipos:
 - MODULACIÓN DE FASE (PM: Phase Modulation)
 - MODULACIÓN DE FRECUENCIA (FM: Frequency Modulation)

Introducción (III)

• MODULACIÓN DE FASE (PM)

- La información se introduce linealmente en la fase de la señal portadora:

$$v_{PM}(t) = A \cos(2\pi f_o t + \Phi_\Delta x(t))$$

- Siendo $\Phi_\Delta [rad]$ la **desviación de fase**, que supone $x(t)$ normalizada

$$|x(t)| \leq 1$$

• MODULACIÓN DE FRECUENCIA (FM)

- La información se introduce linealmente en la frecuencia instantánea de la señal portadora:

$$v_{FM}(t) = A \cos\left(2\pi f_o t + 2\pi f_d \int_{-\infty}^t x(\lambda) d\lambda\right)$$

- Siendo $f_d [Hz]$ la **desviación de frecuencia**, que supone $x(t)$ normalizada

$$|x(t)| \leq 1$$

- La frecuencia instantánea es:

$$f_i(t) = f_o + f_d x(t)$$

$$f_d \ll f_o$$

Esquemas de modulación y demodulación **analógicos**

Modulador de FM (I)

- Una señal FM puede expresarse:

$$v(t) = A \cos \left(2\pi \int_{-\infty}^t f_i(\lambda) d\lambda \right) \quad \text{con} \quad f_i(t) = f_o + f_d x(t) ; \quad |x(t)| \leq 1$$

- Es decir, se trata de una señal senoidal cuya frecuencia varía de forma proporcional a la señal moduladora $x(t)$
- Por consiguiente, resulta razonable considerar que, siempre que se cumplan una serie de condiciones, un posible modulador de FM puede ser un **oscilador LC con capacidad que varíe linealmente con la tensión $x(t)$** .

- En efecto, supongamos un oscilador LC con una capacidad variable según:

$$C(t) = C_o + C[A_o + A_1 x(t)]$$

- La frecuencia instantánea es:

$$f_i(t) = \frac{1}{2\pi \sqrt{L \cdot C(t)}} \equiv \frac{1}{2\pi \sqrt{L [C_o + C(A_o + A_1 x(t))]}} \equiv \frac{1}{2\pi \sqrt{L [C_o + CA_o]}} \cdot \frac{1}{\sqrt{1 + \frac{CA_1 x(t)}{C_o + CA_o}}}$$

Modulador de FM (II)

- Denominando: $f_o = \frac{1}{2\pi\sqrt{L[C_o + CA_o]}}$ $\frac{f_d}{f_o} = \frac{1}{2} \frac{CA_1}{C_o + CA_o}$

- La frecuencia instantánea se expresa como:

$$f_i(t) = f_o \frac{1}{\sqrt{1 + 2 \frac{f_d}{f_o} x(t)}} \approx f_o \left[1 - \frac{f_d}{f_o} x(t) + \frac{3}{2} \left(\frac{f_d}{f_o} \right)^2 x^2(t) + \dots \right]$$

NOTA1: Se ha tomado:

$$\frac{1}{\sqrt{1+X}} \approx 1 - \frac{X}{2} + \frac{3X^2}{8} + \dots$$

- Así se puede considerar: $f_i(t) \cong f_o + f_d x(t)$

NOTA2: El signo de $x(t)$ es a efectos prácticos irrelevante, y si no lo fuera, se puede solucionar mediante un inversor.

siempre y cuando se puedan ignorar los términos de orden superior del desarrollo de Taylor.

- Por ejemplo, para un error inferior al 1% deberá imponerse la condición:

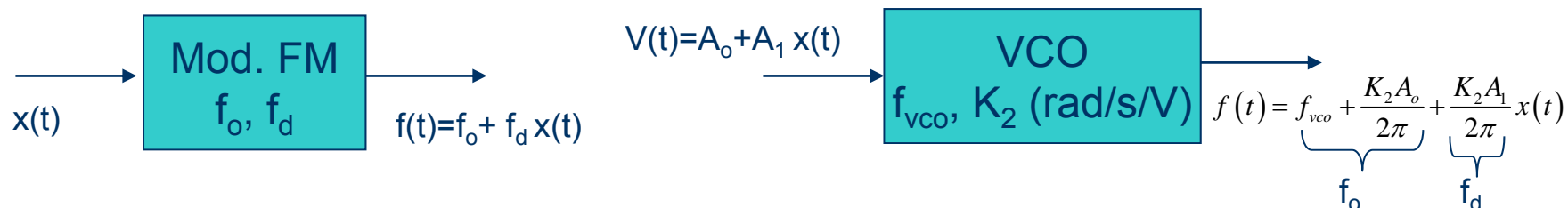
$$\frac{3}{2} \left(\frac{f_d}{f_o} \right)^2 x^2(t) \leq 0.01 \frac{f_d}{f_o} x(t) \Rightarrow \boxed{f_o \geq 150 f_d} \quad (\text{por convenio } |x(t)| \leq 1)$$

Modulador de FM (III)

- Hay diversos procedimientos para obtener una capacidad variable controlada por la señal moduladora.
- Uno de ellos es mediante componentes específicos, como son los diodos VARICAP, que presenta una capacidad variable dependiendo de la tensión aplicada al diodo $V(t)$

$$C(t) = C_o + C \cdot V(t)$$

- Tomando la tensión $V(t) = A_o + A_1 x(t)$, con $|x(t)| \leq 1$, se puede ajustar el valor de A_o de acuerdo con el valor de frecuencia portadora f_o y el de A_1 de acuerdo con la desviación de frecuencia f_d .
- Obsérvese que esta implementación de un modulador de FM es análoga a la de un VCO:



Demodulador de FM

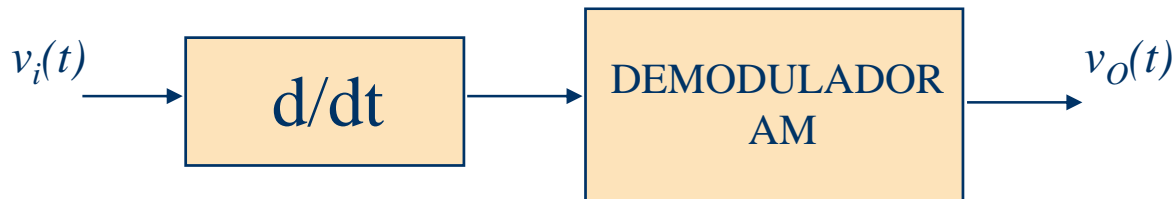
- Para un demodulador de FM la señal de entrada será:

$$v_i(t) = A \cos \left(\omega_o t + 2\pi f_d \int_{-\infty}^t x(\lambda) d\lambda \right)$$

- Si se deriva se obtiene:

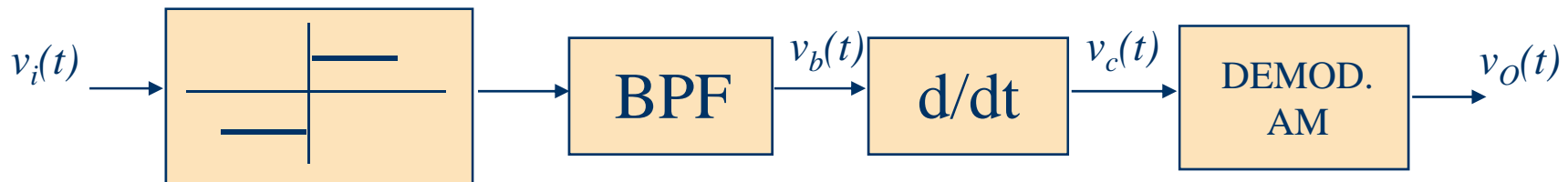
$$\frac{dv_i(t)}{dt} = \dot{v}(t) = -A \left[\omega_o + 2\pi f_d x(t) \right] \sin \left(\omega_o t + 2\pi f_d \int_{-\infty}^t x(\lambda) d\lambda \right)$$

- Que es una señal modulada en AM, por lo que teóricamente se puede extraer la información de una señal modulada en FM con un esquema formado por un derivador y un demodulador de AM:



Demodulador no-balanceado (I)

- Para que el esquema anterior funcione correctamente es necesario que la amplitud de la señal de entrada A sea constante, en caso contrario sus variaciones se confundirían con la información que se quiere recuperar.
- Habitualmente la amplitud de la señal de entrada variará debido a la características propias del canal radio, por lo que se debe añadir un circuito LIMITADOR antes del demodulador.
- Dado que los limitadores son dispositivos no lineales es preciso un filtro pasa banda sintonizado a la frecuencia portadora a la salida del limitador.
- Esta estructura da lugar al **DEMODULADOR DE FM NO-BALANCEADO**:



Demodulador no-balanceado (II)

- Considerando la señal a la entrada como:

$$v_i(t) = B'[1 + \varepsilon(t)] \sin\left(\omega_o t + 2\pi f_d \int_{-\infty}^t x(\lambda) d\lambda\right)$$

- En realidad no se puede conseguir una característica no lineal ideal, y por tanto a la salida de la etapa limitadora aparecerán unas variaciones de amplitud residuales ($\varepsilon_1(t) \ll 1$) mucho menores que las originales.

- Así pues la salida del filtro paso banda será:

$$v_b(t) = B[1 + \varepsilon_1(t)] \sin\left(\omega_o t + 2\pi f_d \int_{-\infty}^t x(\lambda) d\lambda\right)$$

- Y al derivar se tendrá:

$$v_c(t) = 2\pi B \left[f_o + f_d x(t) \right] [1 + \varepsilon_1(t)] \cos\left(\omega_o t + 2\pi f_d \int_{-\infty}^t x(\lambda) d\lambda\right) + B \frac{d\varepsilon_1(t)}{dt} \sin\left(\omega_o t + 2\pi f_d \int_{-\infty}^t x(\lambda) d\lambda\right)$$

Demodulador no-balanceado (III)

- Dado que $\frac{d\varepsilon_1(t)}{dt} \approx 0$ podemos despreciar el segundo término, por lo que a la salida del demodulador la señal será:

$$v_o(t) \approx 2\pi B \left[f_o + f_d x(t) \right] \left[1 + \varepsilon_1(t) \right] = 2\pi B f_o \left[1 + \varepsilon_1(t) + \frac{f_d}{f_o} x(t) + \frac{f_d}{f_o} x(t) \varepsilon_1(t) \right]$$

despreciable

- Y la salida del demodulador de FM no-balanceado será:

$$v_o(t) \approx 2\pi B f_o \left[1 + \varepsilon_1(t) + \frac{f_d}{f_o} x(t) \right]$$

- Por lo que aunque $\varepsilon_1(t) \ll 1$, si $\frac{f_d}{f_o} \ll 1$ como es habitual, la información $x(t)$ estará enmascarada por la envolvente residual $\varepsilon_1(t)$ y no se podrá detectar la información !!!!

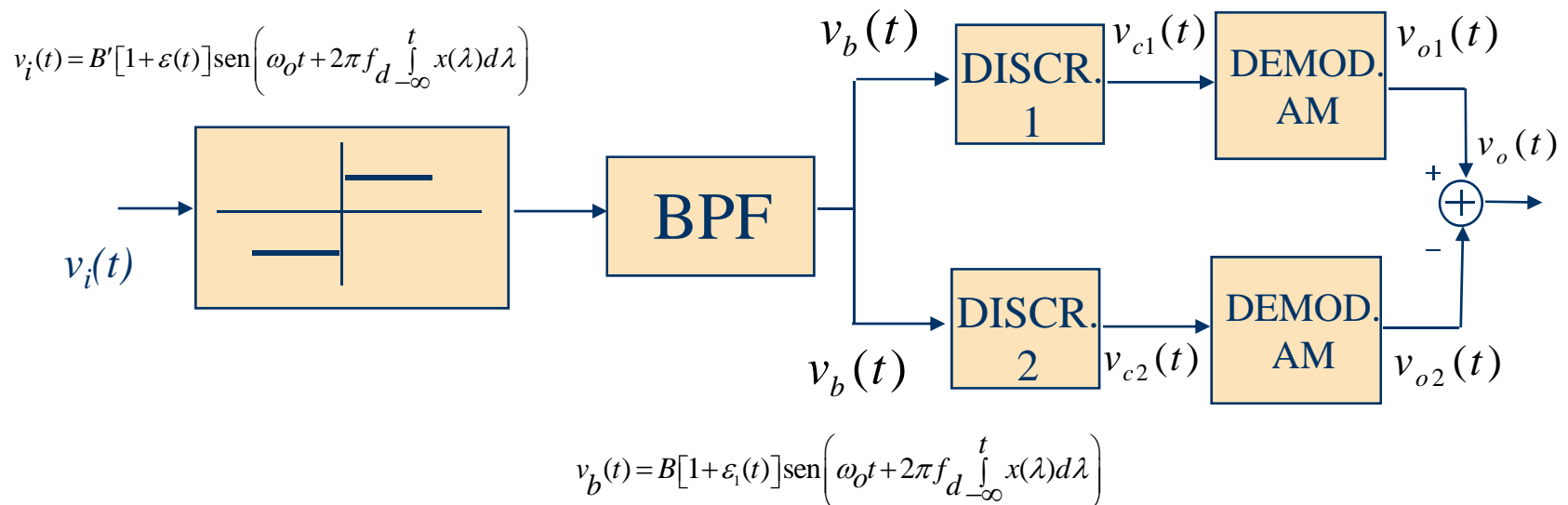
Demodulador balanceado (I)

- Para solucionar el problema de la envolvente residual la mayoría de demoduladores de FM son balanceados.
- La característica principal de un demodulador balanceado es:

$$x(t) = 0 \Rightarrow v_o(t) = 0$$

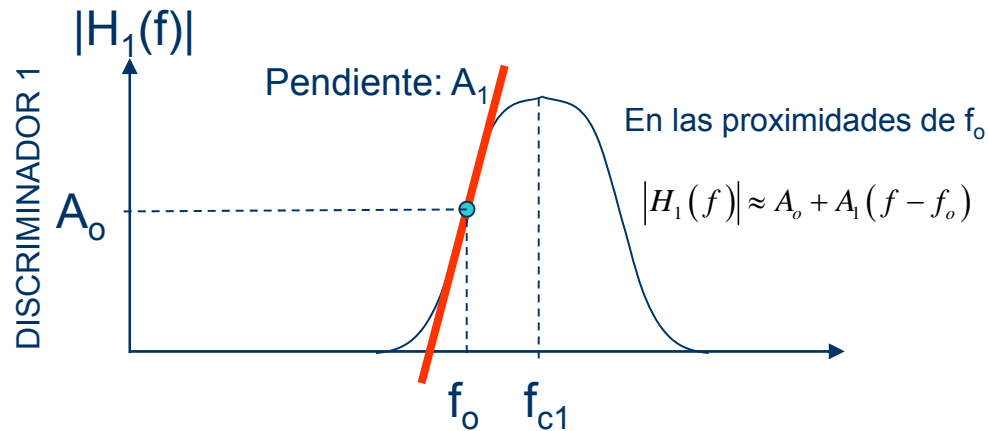
Si no hay señal moduladora, la salida es nula.

- Estructura de un DEMODULADOR DE FM BALANCEADO:



Demodulador balanceado (II)

- Implementación de los discriminadores: circuitos resonantes RLC, tales que la variación de la frecuencia instantánea alrededor de f_o esté dentro de las bandas de transición de los filtros:



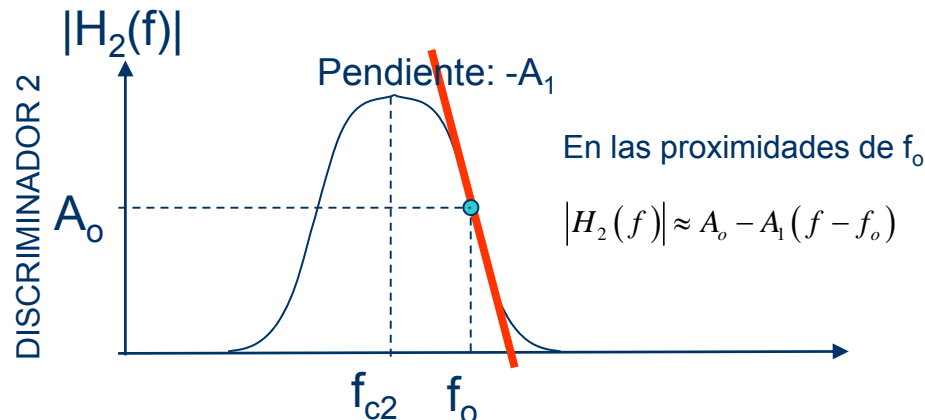
Salida rama superior:

$$v_{c1}(t) \approx B(1 + \varepsilon_1(t)) |H_1(f_i(t))| \sin \left(\omega_o t + 2\pi f_d \int_{-\infty}^t x(\lambda) d\lambda + \theta_1 \right)$$

$$f_i(t) = f_o + f_d x(t)$$

$$v_{o1}(t) \approx B(1 + \varepsilon_1(t)) |H_1(f_i(t))| \approx B(1 + \varepsilon_1(t)) (A_o + A_1(f_o + f_d x(t) - f_o))$$

$$v_{o1}(t) \approx B(1 + \varepsilon_1(t)) (A_o + A_1 f_d x(t))$$



Salida rama inferior:

$$v_{c2}(t) \approx B(1 + \varepsilon_1(t)) |H_2(f_i(t))| \sin \left(\omega_o t + 2\pi f_d \int_{-\infty}^t x(\lambda) d\lambda + \theta_2 \right)$$

$$v_{o2}(t) \approx B(1 + \varepsilon_1(t)) |H_2(f_i(t))| \approx B(1 + \varepsilon_1(t)) (A_o - A_1(f_o + f_d x(t) - f_o))$$

$$v_{o2}(t) \approx B(1 + \varepsilon_1(t)) (A_o - A_1 f_d x(t))$$

Demodulador balanceado (III)

- De modo que la salida del demodulador será:

$$v_o(t) = v_{o1}(t) - v_{o2}(t) \approx B(1 + \varepsilon_1(t))(A_o + A_1 f_d x(t)) - B(1 + \varepsilon_1(t))(A_o - A_1 f_d x(t))$$

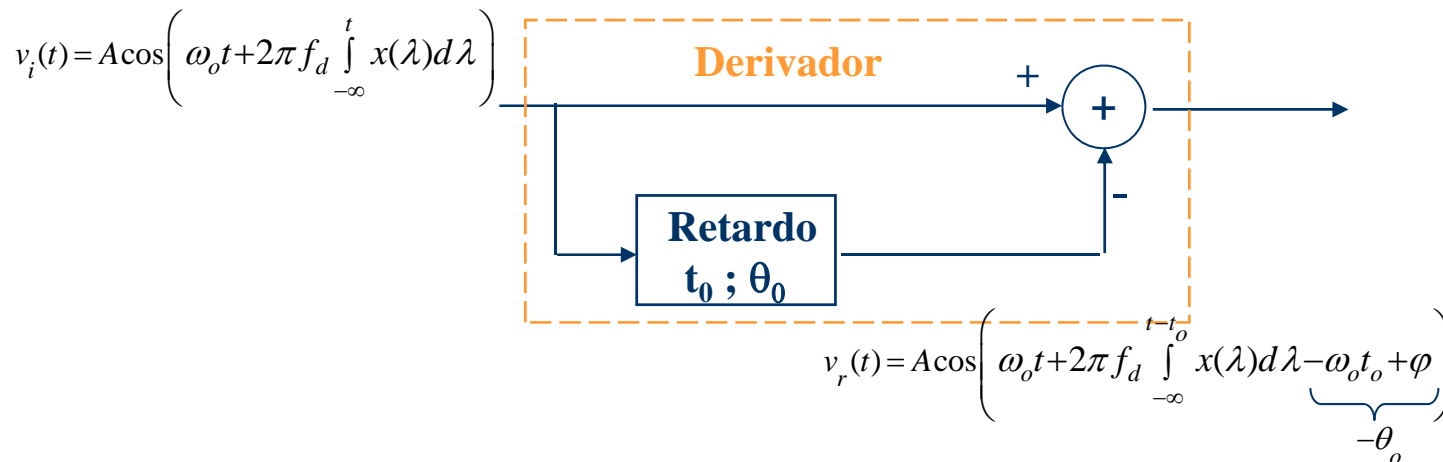
$$v_o(t) \approx 2 B(1 + \varepsilon_1(t)) A_1 f_d x(t)$$

- Por lo que el error residual se traduce únicamente en una pequeña variación de amplitud sobre $x(t)$, pero no enmascara a esta señal, a diferencia del caso no balanceado.
- Importante: los dos discriminadores deben estar bien ajustados.

Demodulador basado en retardo temporal (I)

- Los demoduladores de FM están basados en un derivador.
- Para diseñar un derivador puede recurrirse a la definición de derivada:

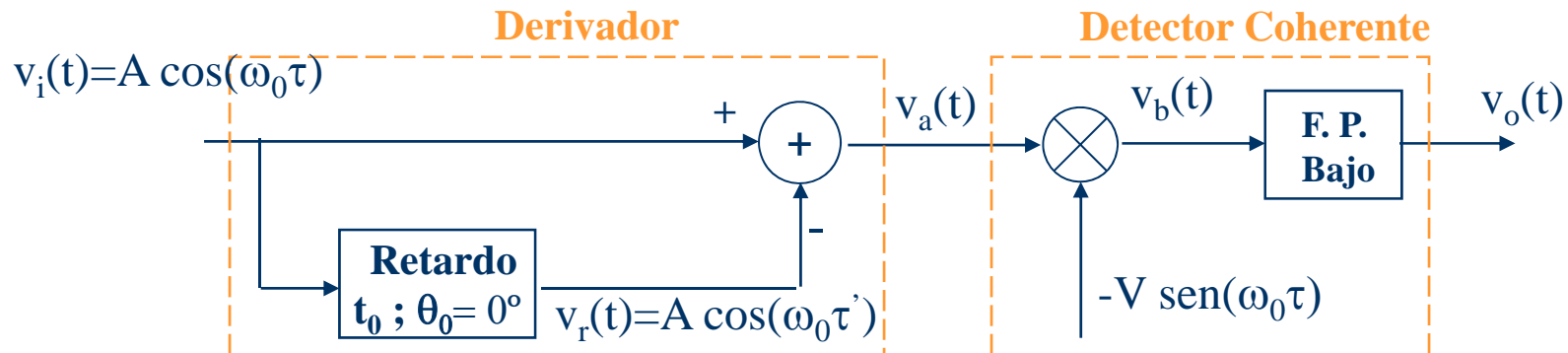
$$\frac{dv(t)}{dt} = \lim_{t_o \rightarrow 0} \frac{v(t) - v(t - t_o)}{t_o}$$
- Por lo tanto, si tomamos un retardo t_o lo suficientemente pequeño, se puede implementar el derivador con una línea de retardo.



La línea de retardo, en general, además de retardar introducirá un desfase φ .

Demodulador basado en retardo temporal (II)

- Vamos a analizar un demodulador de FM basado en retardo temporal y con detección coherente de la envolvente:



$$v_i(t) = A \cos \left(\omega_o t + 2\pi f_d \int_{-\infty}^t x(\lambda) d\lambda \right) \equiv A \cos(\omega_o \tau) \quad \Rightarrow \quad \tau = t + \frac{f_d}{f_o} \int_{-\infty}^t x(\lambda) d\lambda$$

$$v_r(t) = A \cos \left(\omega_o t + 2\pi f_d \int_{-\infty}^{t-t_0} x(\lambda) d\lambda - \theta_0 \right) \equiv A \cos(\omega_o \tau') \quad \Rightarrow \quad \tau' = t + \frac{f_d}{f_o} \int_{-\infty}^{t-t_0} x(\lambda) d\lambda$$

\uparrow
 $\theta_0 = 0^\circ$

- Deberá determinarse el máximo valor de t_0 que permita que el circuito funcione razonablemente bien como derivador.

Demodulador basado en retardo temporal (III)

- Así: $v_a(t) = A[\cos(\omega_o \tau) - \cos(\omega_o \tau')]$

- Al pasar por el multiplicador del detector coherente:

$$\begin{aligned} v_b(t) &= -AV[\cos(\omega_o \tau) - \cos(\omega_o \tau')] \operatorname{sen}(\omega_o \tau) = \\ &= -\frac{AV}{2} \operatorname{sen}(2\omega_o \tau) + \frac{AV}{2} \operatorname{sen}(\omega_o(\tau + \tau')) + \frac{AV}{2} \operatorname{sen}(\omega_o(\tau - \tau')) \end{aligned}$$

- Sustituyendo τ y τ' :

Términos a $2f_o$

$$\begin{aligned} v_b(t) &= -\frac{AV}{2} \operatorname{sen}\left(2\omega_o t + 4\pi f_d \int_{-\infty}^t x(\lambda) d\lambda\right) + \frac{AV}{2} \operatorname{sen}\left(2\omega_o t + 2\pi f_d \left[\int_{-\infty}^t x(\lambda) d\lambda + \int_{-\infty}^{t-t_o} x(\lambda) d\lambda\right]\right) + \\ &+ \frac{AV}{2} \operatorname{sen}\left(2\pi f_d \left[\int_{-\infty}^t x(\lambda) d\lambda - \int_{-\infty}^{t-t_o} x(\lambda) d\lambda\right]\right) \end{aligned}$$

Término a baja frecuencia

Demodulador basado en retardo temporal (IV)

- A la salida del filtro paso bajo:

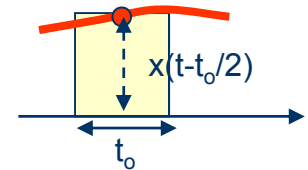
$$v_o(t) = \frac{AV}{2} \operatorname{sen} \left(2\pi f_d \int_{t-t_o}^t x(\lambda) d\lambda \right)$$

- CONDICIONES:

- Si la frecuencia máxima f_m de la señal moduladora $x(t)$ cumple:

$$f_m \leq \frac{1}{\pi t_o} \Rightarrow t_o \leq \frac{1}{\pi f_m}$$

Equivalentemente, quiere decir que $x(t)$ varía muy lentamente en un intervalo t_o , de modo que la integral se aproxima por un rectángulo:



Entonces:

$$\int_{t-t_o}^t x(\lambda) d\lambda \approx t_o x \left(t - \left(\frac{t_o}{2} \right) \right) \Rightarrow v_o(t) \approx \frac{AV}{2} \operatorname{sen} (2\pi f_d t_o x(t - t_o/2))$$

- Si se cumple la condición:

$$\sin(\alpha) \approx \alpha \quad \text{si } \alpha \leq 0.2$$

$$2\pi f_d t_o \leq 0.2 \Rightarrow t_o \leq \frac{1}{10\pi f_d}$$

Entonces:

$$v_o(t) \approx AV \pi f_d t_o x(t - \frac{t_o}{2})$$

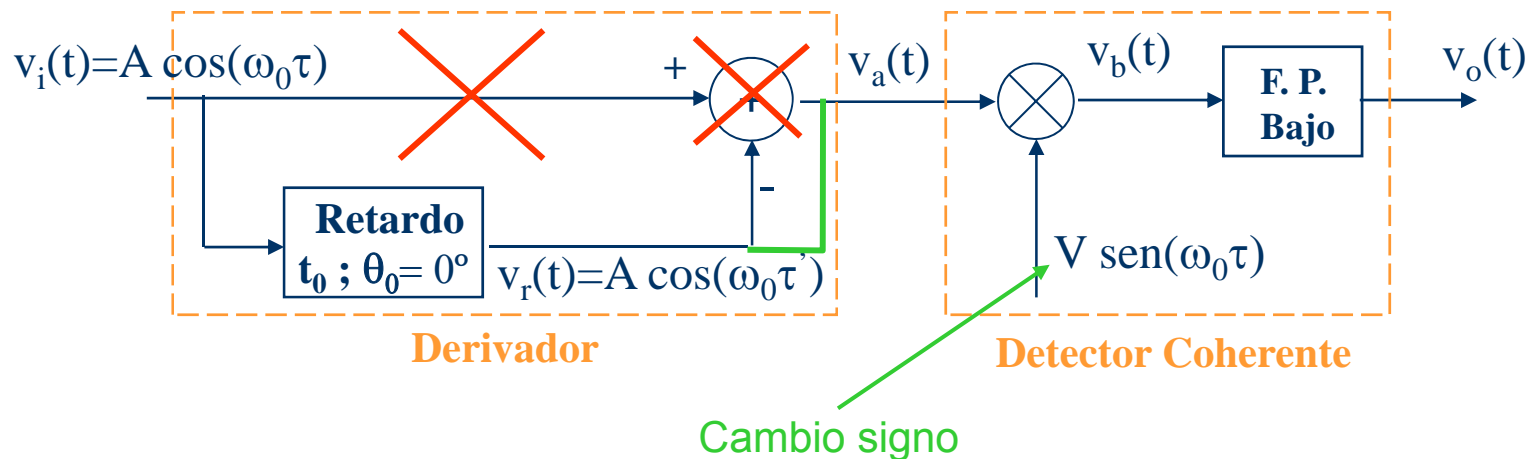
Recuperamos $x(t)$ y es un demodulador balanceado!

Demodulador basado en retardo temporal (V)

- OBSERVACIÓN 1: la rama superior del circuito derivador no contribuye a la tensión de salida $v_o(t)$. En efecto, esta rama crea el término $\cos(\omega_o\tau) \cdot \sin(\omega_o\tau)$ cuyo espectro está centrado en $2f_o$ y por lo tanto será filtrado:

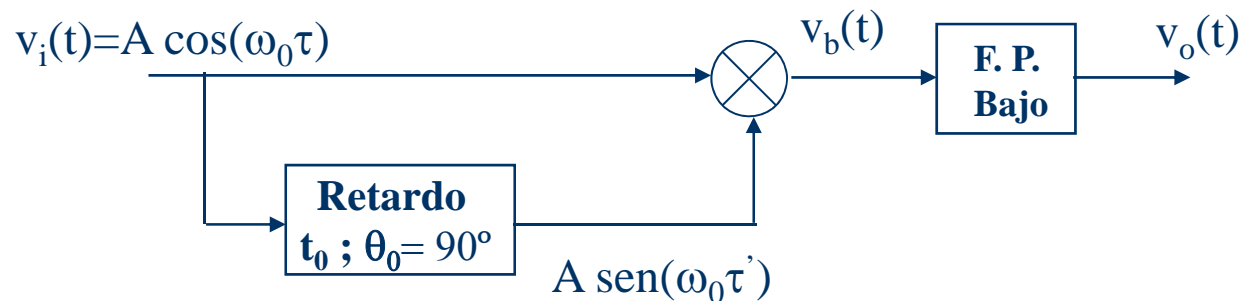
$$-AV \cos(\omega_o\tau) \sin(\omega_o\tau) = -\frac{AV}{2} \sin\left(2\omega_o t + 4\pi f_d \int_{-\infty}^t x(\lambda) d\lambda\right)$$

- Por consiguiente se puede eliminar esta rama:



Demodulador basado en retardo temporal (VI)

- OBSERVACIÓN 2:** las señales implicadas en el proceso de multiplicación, previo a la obtención de la señal $v_b(t)$, están en cuadratura. Por consiguiente, si la red de retardo introduce además un desfase de 90° , se puede utilizar la propia señal a demodular para generar la portadora local necesaria en el proceso de detección coherente, tal como se indica en el diagrama de bloques siguiente:

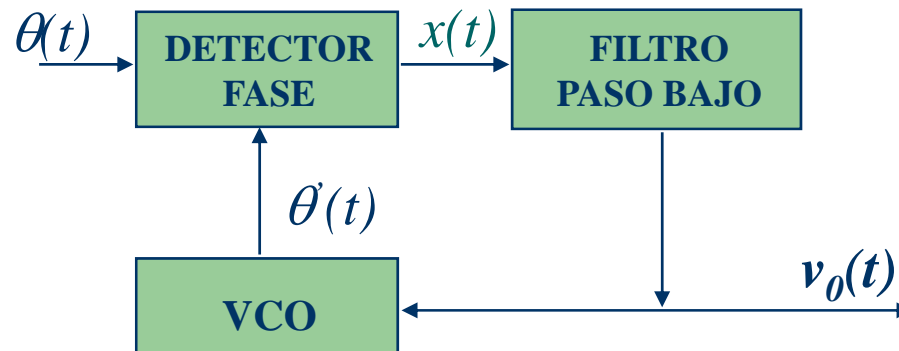


$$v_o(t) = A^2 \pi f_d t_o x\left(t - \frac{t_o}{2}\right)$$

Obsérvese la extrema sencillez del circuito, que permite reducir la complejidad del circuito derivador a una simple red de retardo, y además permite conseguir una demodulación coherente sin requerir de un circuito PLL.

Demodulador de FM con PLL (I)

- Un PLL puede usarse como demodulador de FM ya que la información a recuperar se encuentra en las variaciones de la frecuencia de la señal recibida.



$$\theta(t) = 2\pi f_o t + \theta_1(t) = 2\pi f_o t + 2\pi f_d \int_{-\infty}^t y(\lambda) d\lambda$$

$$\theta'(t) = 2\pi f_o t + \theta_2(t)$$

$$\phi(t) = \theta_1(t) - \theta_2(t)$$

$$x(t) = AK_1 \sin\{\phi(t)\}$$

Seguimiento



$$x(t) \approx AK_1 \phi(t)$$

$$v_o(t) = AK_1 \{\phi(t) * f(t)\}$$

Demodulador de FM con PLL (II)

- Tomando la Transformada de Laplace

$$V_0(s) \equiv AK_1 \phi(s) F(s) = \frac{AK_1 F(s)}{s + AKF(s)} s\theta_1(s) = \frac{1}{K_2} H(s) \cdot \left\{ s\theta_1(s) \right\}$$

(ver tema 4) \uparrow

$$\phi(s) = \frac{s\theta_1(s)}{s + AKF(s)}$$

- Recordando que:

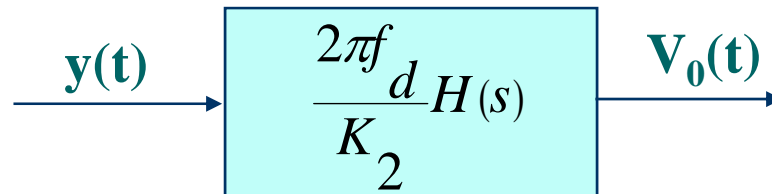
$$\theta_1(t) = 2\pi f_d \int_{-\infty}^t y(\lambda) \cdot d\lambda$$

$$s\theta_1(s) = \mathcal{L} \left[\frac{d\theta_1(t)}{dt} \right] = \mathcal{L} [2\pi f_d y(t)] \equiv 2\pi f_d Y(s)$$

- resulta:
$$V_o(s) = \frac{2\pi f_d}{K_2} H(s) Y(s)$$

Demodulador de FM con PLL (III)

- Modelo equivalente del demodulador mediante PLL



- Con un PLL de 2º orden, para evitar distorsión se debe cumplir:

$$f_n > BW_{y(t)}$$

donde $BW_y(t)$ es el ancho de banda de la señal moduladora

- Para garantizar que el PLL llega a la fase de seguimiento:

$$\Delta\omega_L = 2\xi\omega_n \geq 2\pi f_d \quad \Rightarrow \quad f_n \geq \frac{f_d}{2\xi}$$

Si se cumplen ambas condiciones, entonces la señal a la salida del PLL es:

$$v_o(t) = \frac{2\pi f_d}{K_2} y(t)$$

Es decir, se trata de un demodulador balanceado.

Esquemas de modulación y demodulación basados en tecnología digital

Conceptos previos: componentes I-Q (I)

- Una señal modulada paso-banda puede representarse de forma genérica como:

$$s(t) = a(t) \cdot \cos(\omega_o t + \varphi(t))$$

- Ejemplos:

	$a(t)$	$\varphi(t)$
AM	$A[1+m_x(t)]$	Φ
FM	A	$2\pi f_d \int_{-\infty}^t x(\lambda) d\lambda + \Phi$
ASK	$A \cdot \sum_k \alpha_k \text{rect}_{T}(t - kT); \alpha_k \in \{1, 0\}$	Φ
QPSK rectang.	$\sqrt{2} A$	$\sum_k \frac{\pi}{4} \alpha_k \text{rect}_{T}(t - kT);$ $\alpha_k \in \{\pm 1, \pm 3\}$
QPSK Confor.	$\sqrt{2} A \cdot \sum_k p(t - kT)$	$\sum_k \frac{\pi}{4} \alpha_k \text{rect}_{T}(t - kT);$ $\alpha_k \in \{\pm 1, \pm 3\}$

Conceptos previos: componentes I-Q (II)

- La señal $s(t)$ puede descomponerse como:

$$s(t) = a(t) \cos \varphi(t) \cos(\omega_o t) - a(t) \sin \varphi(t) \sin(\omega_o t) \equiv I(t) \cos(\omega_o t) - Q(t) \sin(\omega_o t)$$

donde $I(t)$ y $Q(t)$ son las componentes en fase y en cuadratura de la envolvente compleja de la señal modulada.

$$I(t) = a(t) \cos \varphi(t)$$

$$Q(t) = a(t) \sin \varphi(t)$$

- EQUIVALENTE PASO BAJO (=ENVOLVENTE COMPLEJA) de $s(t)$:

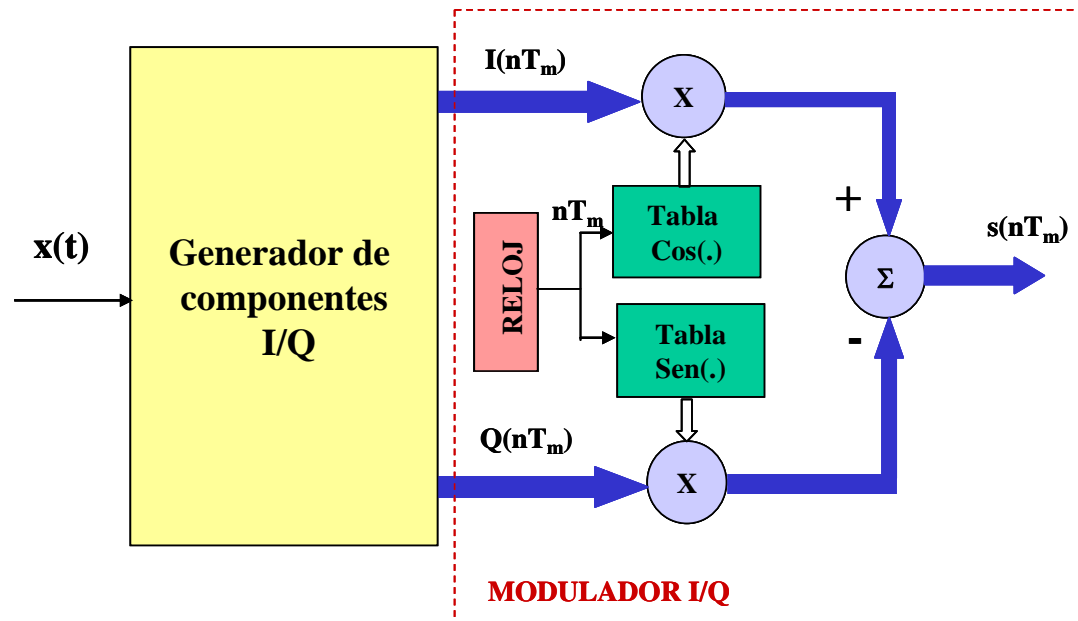
$$\tilde{s}(t) = I(t) + jQ(t) = a(t) e^{j\varphi(t)}$$

$$s(t) = \operatorname{Re} \left[\tilde{s}(t) e^{j\omega_o t} \right]$$

- Si se conocen las componentes I/Q de una modulación es muy sencillo implementar un modulador genérico basado en multiplicarlas por un seno y un coseno obtenidos de una memoria ROM
(MODULADOR EN CUADRATURA).

Modulador en cuadratura (I)

- Estructura de un modulador en cuadratura:



- Si se elige el valor de la frecuencia de muestreo f_m tal que:
- La expresión de la señal modulada resulta:

$$f_o = \frac{f_m}{M} = \frac{1}{M \cdot T_m}$$

$$s_m(nT_m) = I(nT_m) \cdot \cos[2\pi f_o nT_m] - Q(nT_m) \cdot \sin[2\pi f_o nT_m] \equiv I(nT_m) \cdot \cos\left[2\pi \frac{n}{M}\right] - Q(nT_m) \cdot \sin\left[2\pi \frac{n}{M}\right]$$

Modulación en cuadratura (II)

- En el caso particular de que la frecuencia de muestreo sea cuatro veces la frecuencia portadora ($M=4$), entonces:

$$\cos\left[2\pi\frac{n}{M}\right] = \cos\left[\frac{\pi}{2}n\right] \equiv \begin{cases} (-1)^{n/2} & \text{si } n \text{ par} \\ 0 & \text{si } n \text{ impar} \end{cases}$$

Salida rama superior:

$$I(2nT_m), 0, -I((2n+2)T_m), 0, I((2n+4)T_m), 0, \dots,$$

$$\sin\left[2\pi\frac{n}{M}\right] = \sin\left[\frac{\pi}{2}n\right] \equiv \begin{cases} (-1)^{(n-1)/2} & \text{si } n \text{ impar} \\ 0 & \text{si } n \text{ par} \end{cases}$$

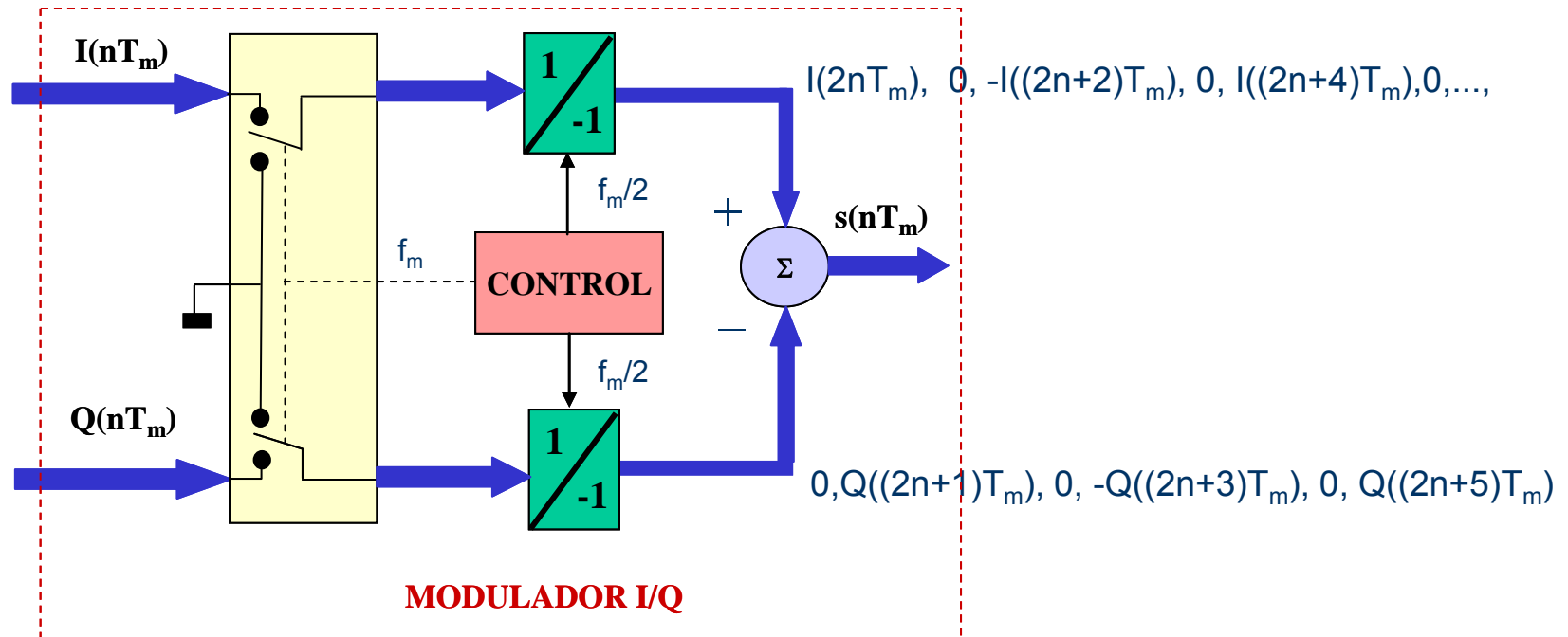
Salida rama inferior:

$$0, Q((2n+1)T_m), 0, -Q((2n+3)T_m), 0, Q((2n+5)T_m), \dots$$

- De modo que pueden eliminarse los multiplicadores digitales puesto que las señales $I(t)$ y $Q(t)$ quedan multiplicadas por $+1$, -1 ó 0 .

Modulación en cuadratura (III)

- La estructura simplificada para $M=4$ es:



Modulador de FM con tecnología digital (I)

- Se trata de implementar digitalmente la señal:

$$s(t) = A \cos \left(2\pi \int_{-\infty}^t f_i(\lambda) d\lambda \right) \quad f_i(t) = f_o + f_d x(t)$$

- Se puede implementar mediante un oscilador digital basado en una memoria ROM cuya frecuencia instantánea fuera:

$$f_i(nT_m) = f_o + f_d x(nT_m) = (K_o + K_d x(nT_m)) f_R$$

- Consiste en almacenar en una tabla de memoria N_A valores muestreados del período de un tono. Es decir:

$$v_o(nT_m) = \cos \left(2\pi \frac{n}{N_A} \right) \quad 0 \leq n \leq N_A - 1 \quad f_m = N_A f_R$$

- Para generar una señal a frecuencia $f_i = K f_R$, con K entero, basta con leer la tabla en pasos (saltos) de K posiciones.
- Así, para generar una señal de FM basta con leer la tabla en pasos de :

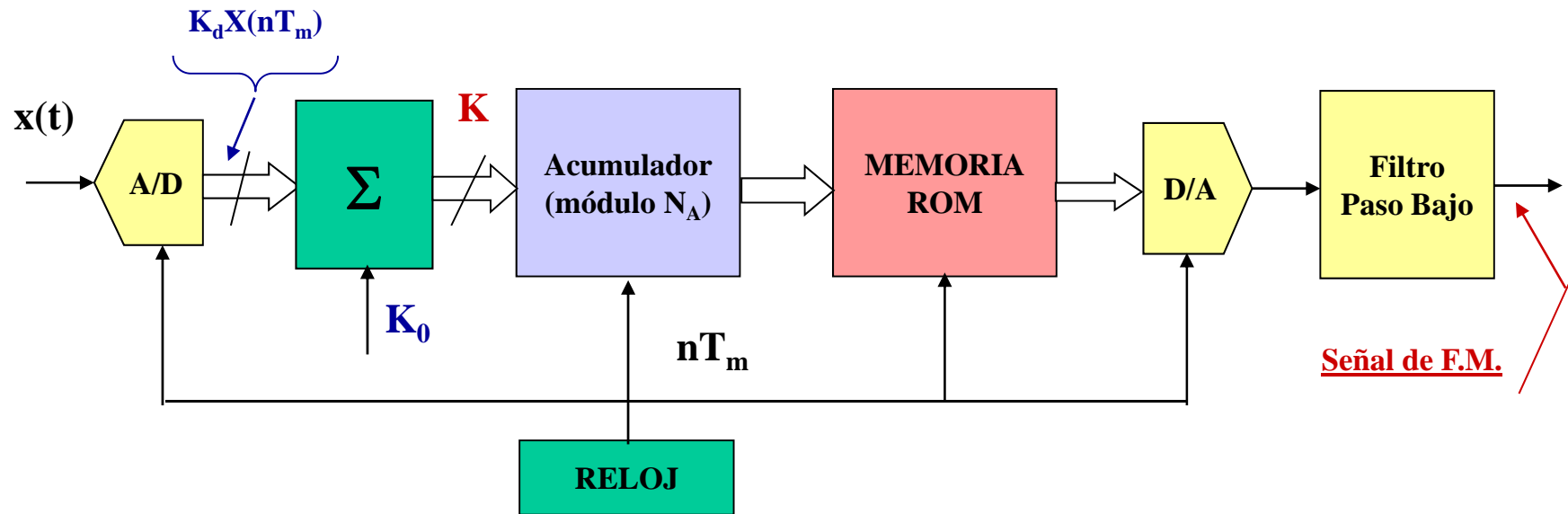
donde:

$$K = K_o + K_d x(nT_m)$$

- K_o determina la frecuencia portadora
- K_d determina la desviación de frecuencia

Modulador de FM con tecnología digital (II)

- Estructura del modulador de FM:



Extracción de componentes I-Q (I)

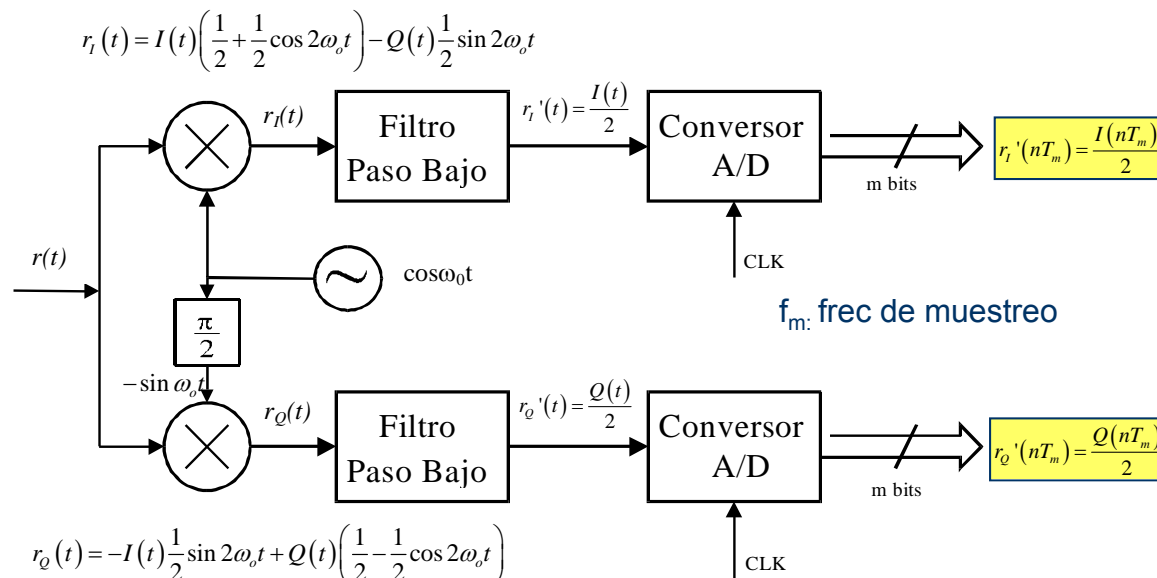
- Para recuperar la información de una señal modulada se deben extraer las componentes I-Q en el receptor.
- Dicha extracción puede realizarse en la parte analógica (Conversión Directa) o bien tras la digitalización de la señal (Extracción digital).

CONVERSIÓN DIRECTA:

- La señal paso-banda recibida se puede caracterizar por:

$$r(t) = \text{Re} \left[\tilde{r}(t) \cdot e^{j\omega_o t} \right] = \text{Re} \left[(I(t) + jQ(t)) e^{j\omega_o t} \right] = I(t) \cos \omega_o t - Q(t) \sin \omega_o t$$

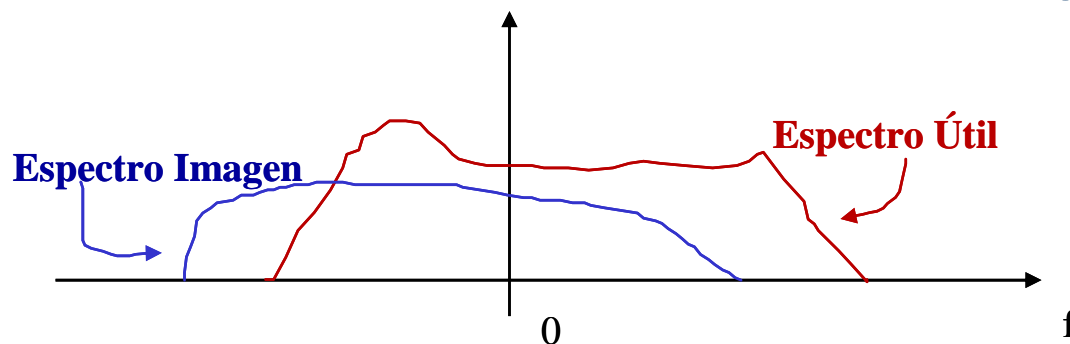
- El esquema del extractor de componentes I/Q vendrá dado por:



Extracción de componentes I-Q (II)

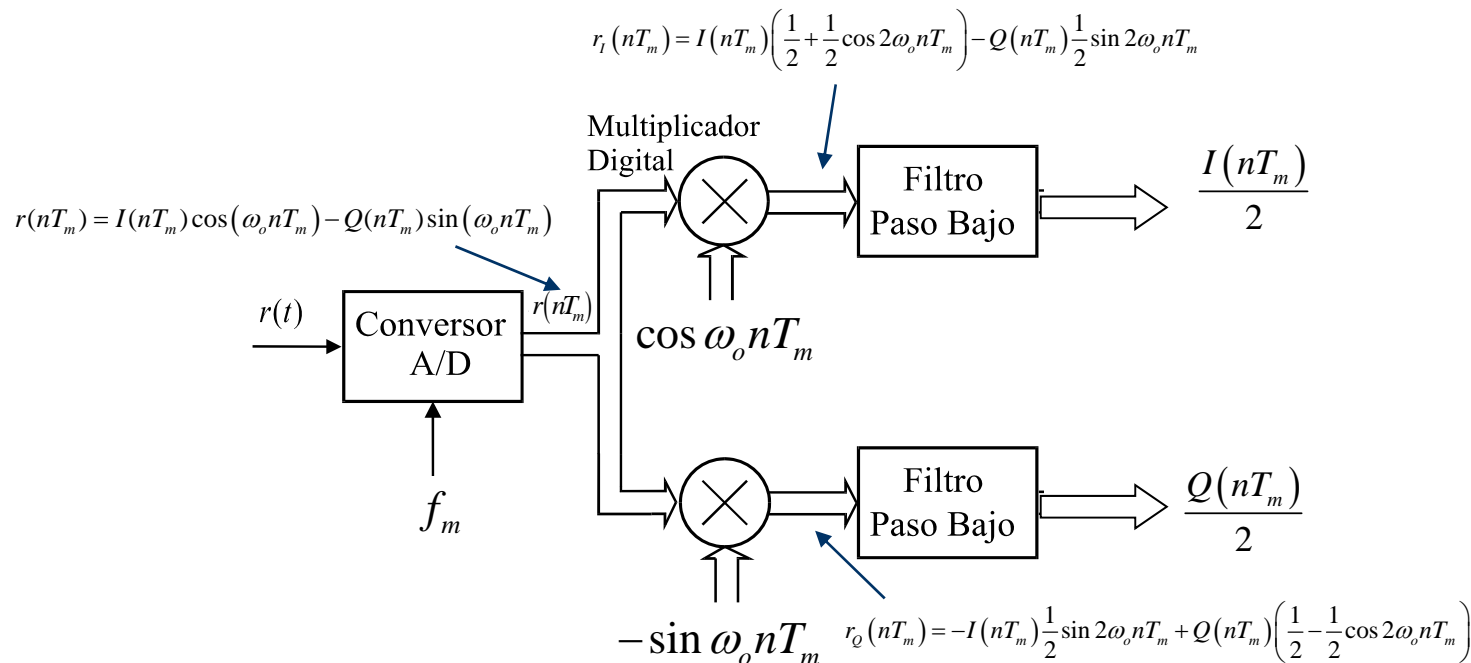
Inconvenientes:

- Portadora generada localmente diferente de la portadora recibida
- Elevadas exigencias por lo que respecta al hardware:
 - Dos canales completos con características similares de ganancia y fase en toda la banda de la señal
 - Componentes analógicos utilizados en cada canal (mezcladores, filtros, conversores A/D) diferentes \Rightarrow **Respuesta frecuencial global de cada canal diferente**
- La presencia de desequilibrios de amplitud y fase entre ambas ramas da lugar a la aparición de un espectro imagen superpuesto a la señal útil demodulada, tal como se muestra en la figura.



Extracción digital de componentes I-Q (I)

- Para cancelar los efectos de la señal imagen inherentes al sistema de conversión directa analógico puede considerarse su implementación en el dominio digital:



- Al efectuarse la multiplicación y el filtrado mediante operaciones numéricas, tanto la rama superior como la inferior pueden ser idénticas, eliminando en buena parte el efecto del espectro imagen.

Extracción digital de componentes I-Q (II)

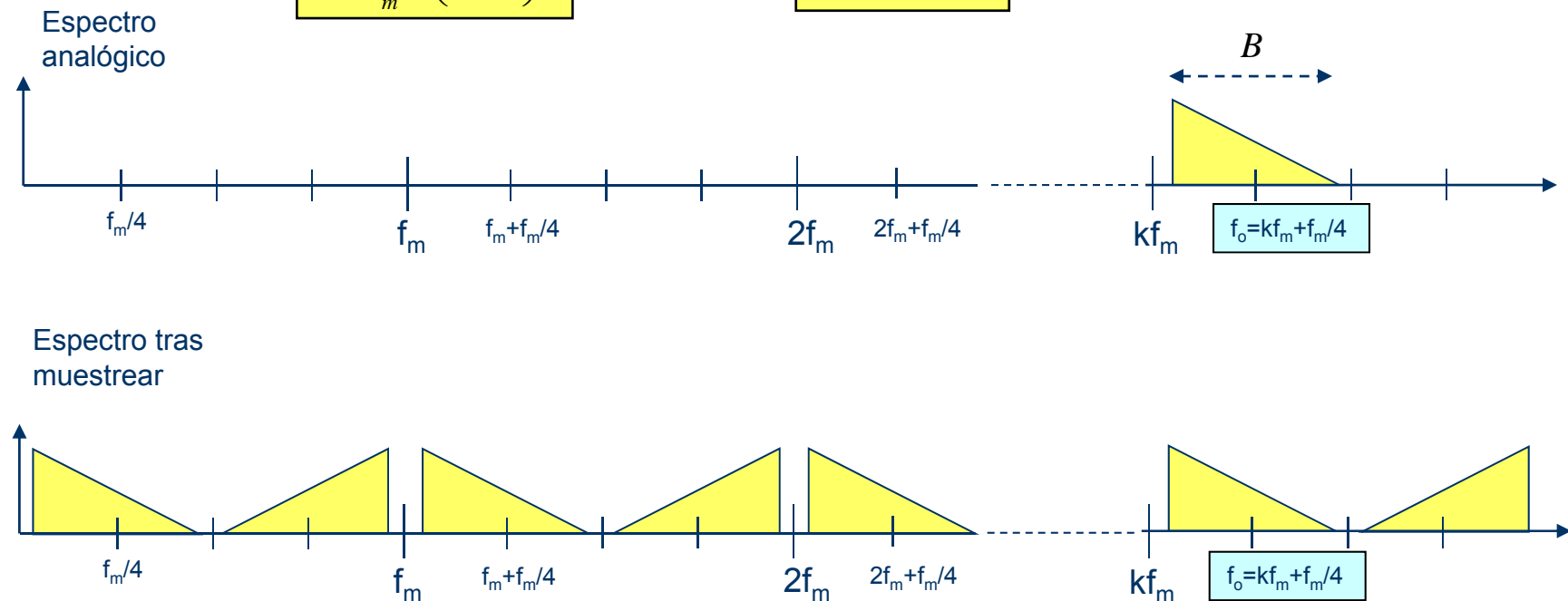
- Otra ventaja de la implementación digital es que permite escoger un valor de la frecuencia de muestreo que simplifique el diseño:

$$f_m = \frac{1}{T_m} = \left(\frac{4}{4k+1} \right) f_0$$



$$f_0 = kf_m + \frac{f_m}{4}$$

k entero



Condición de Nyquist para evitar aliasing:

$$B \leq \frac{f_m}{2}$$

Extracción digital de componentes I-Q (III)

- Así, las muestras a la salida de las dos ramas serán:

$$r_I(nT_m) = I(nT_m) \cos^2\left(2\pi \frac{f_0}{f_m} n\right) - Q(nT_m) \sin\left(2\pi \frac{f_0}{f_m} n\right) \cos\left(2\pi \frac{f_0}{f_m} n\right) = I(nT_m) \cos^2\left(\frac{\pi n}{2}\right) - \underbrace{Q(nT_m) \sin\left(\frac{\pi n}{2}\right) \cos\left(\frac{\pi n}{2}\right)}_{\text{Término nulo}}$$

$$2\pi \frac{f_0}{f_m} = 2\pi \frac{4k+1}{4} = 2\pi k + \frac{\pi}{2}$$

$$r_I(nT_m) = I(nT_m) \cos^2\left(\frac{\pi n}{2}\right) = I(nT_m) \left[\frac{1 + \cos(\pi n)}{2} \right] = \begin{cases} I(nT_m) & \text{para } n \text{ par} \\ 0 & \text{para } n \text{ impar} \end{cases}$$

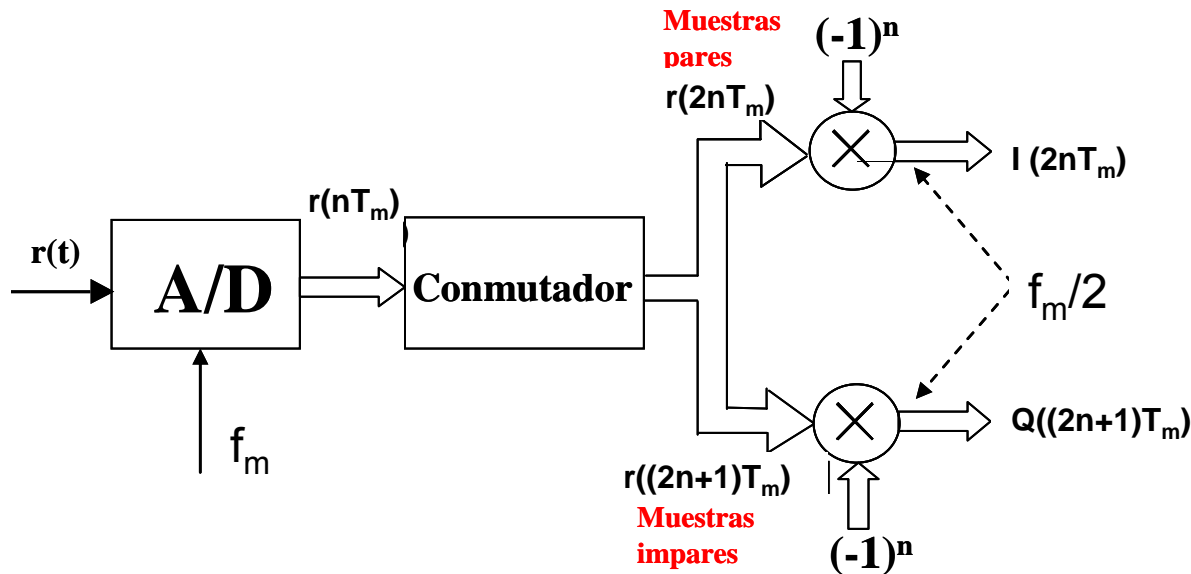
$$r_Q(nT_m) = -I(nT_m) \cos\left(2\pi \frac{f_0}{f_m} n\right) \sin\left(2\pi \frac{f_0}{f_m} n\right) + Q(nT_m) \sin^2\left(2\pi \frac{f_0}{f_m} n\right) = -\underbrace{I(nT_m) \cos\left(\frac{\pi n}{2}\right) \sin\left(\frac{\pi n}{2}\right)}_{\text{Término nulo}} + Q(nT_m) \sin^2\left(\frac{\pi n}{2}\right)$$

$$r_Q(nT_m) = Q(nT_m) \sin^2\left(\frac{\pi n}{2}\right) = Q(nT_m) \left[\frac{1 - \cos(\pi n)}{2} \right] = \begin{cases} 0 & \text{para } n \text{ par} \\ Q(nT_m) & \text{para } n \text{ impar} \end{cases}$$

La rama superior sólo dará valores no nulos para las muestras de entrada pares, mientras que la rama inferior lo hará para las impares.

Extracción digital de componentes I-Q (IV)

- La implementación del extractor queda simplificada como:



- Obsérvese que la multiplicación por el coseno y el seno a frecuencia $f_m/2$ queda reducida a una multiplicación alterna por 1 y -1:

$$\cos\left(2\pi \frac{f_0}{f_m} 2n\right) = \cos(\pi n) = (-1)^n$$

$$\sin\left(2\pi \frac{f_0}{f_m} (2n+1)\right) = \sin\left(\pi n + \frac{\pi}{2}\right) = (-1)^n$$

- Para evitar el desfase de una muestra entre las componentes I/Q en las dos ramas es posible utilizar filtros interpoladores a la salida.

Demodulador de envolvente con tecnología digital

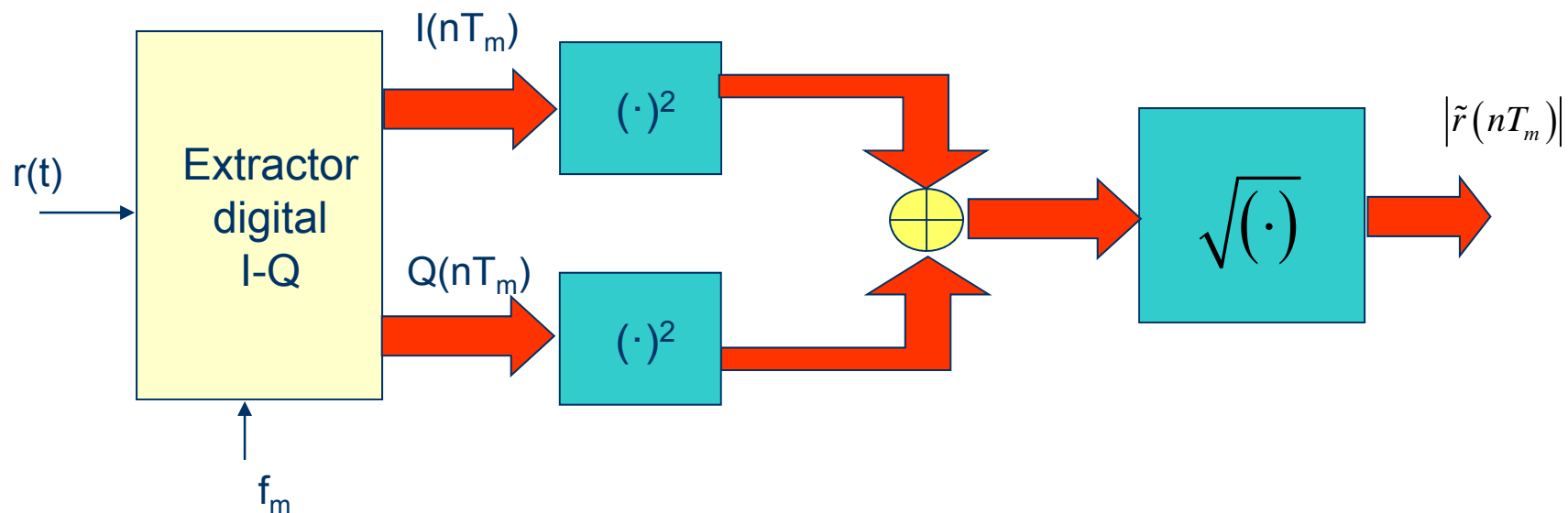
- Una vez se han extraído las componentes I-Q de la señal recibida, la extracción de la información dependerá del tipo de modulación.
- Por ejemplo, es posible de forma sencilla efectuar una demodulación de envolvente, recordando que la envolvente no es más que el módulo del equivalente paso bajo:

Señal recibida: $r(t) = I(t) \cos \omega_o t - Q(t) \sin \omega_o t$

Equivalente
paso bajo:

$$\tilde{r}(t) = I(t) + jQ(t)$$

Envolvente: $|\tilde{r}(t)| = \sqrt{I^2(t) + Q^2(t)}$



Demodulador de frecuencia con tecnología digital (I)

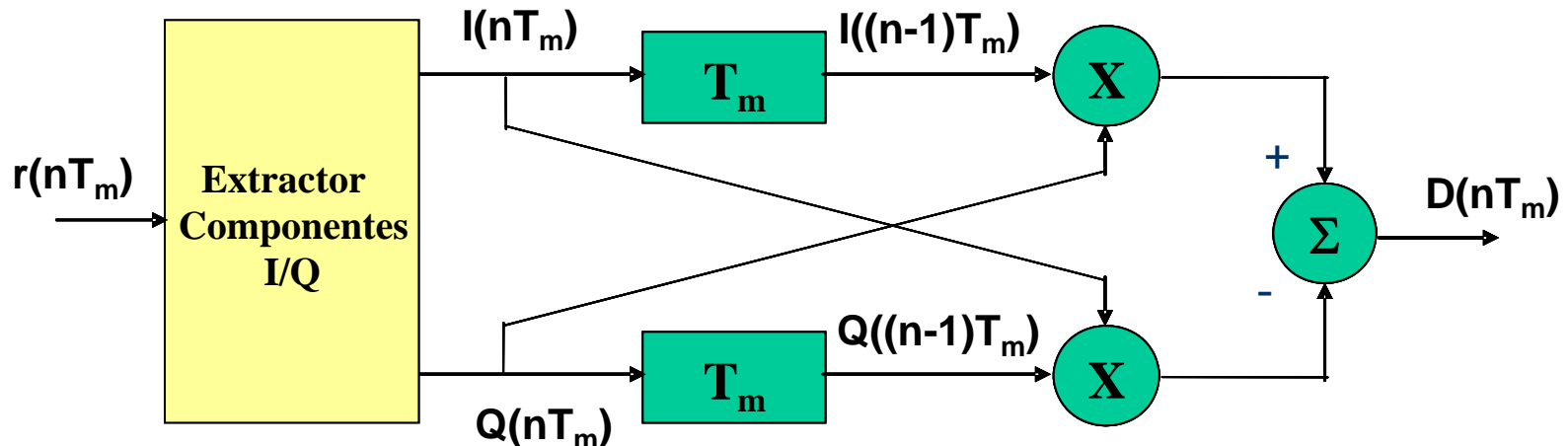
- La señal modulada en frecuencia (FM) es:

$$r(t) = A \cos \left(\omega_o t + 2\pi f_d \int_{-\infty}^t x(\lambda) d\lambda \right) = A \underbrace{\cos \left(2\pi f_d \int_{-\infty}^t x(\lambda) d\lambda \right)}_{I(t)} \cos(\omega_o t) - A \underbrace{\sin \left(2\pi f_d \int_{-\infty}^t x(\lambda) d\lambda \right)}_{Q(t)} \sin(\omega_o t)$$

- Y su envolvente compleja:

$$\tilde{r}(t) = I(t) + jQ(t) = A e^{j \left(2\pi f_d \int_{-\infty}^t x(\lambda) d\lambda \right)}$$

- El demodulador digital de FM adopta la siguiente configuración:



Que recibe el nombre de **CUADRICORRELADOR**.

Demodulador de frecuencia con tecnología digital (II)

- De modo que la señal a su salida adopta la siguiente expresión:

$$\begin{aligned}
 D(nT_m) &= I((n-1)T_m)Q(nT_m) - I(nT_m) \cdot Q((n-1)T_m) = \\
 &= \text{Im} \left\{ \left[I(nT_m) + jQ(nT_m) \right] \cdot \left[I((n-1)T_m) - jQ((n-1)T_m) \right] \right\} = \\
 &= \text{Im} \left[\tilde{r}(nT_m) \cdot \tilde{r}^*((n-1)T_m) \right] = \text{Im} \left[A^2 \exp \left(j2\pi f_d \int_{(n-1)T_m}^{nT_m} x(\lambda) d\lambda \right) \right] = \\
 &= A^2 \sin \left(2\pi f_d \int_{(n-1)T_m}^{nT_m} x(\lambda) d\lambda \right)
 \end{aligned}$$

- Ecuación análoga a la que se obtenía en un Demodulador Analógico de FM por retardo en el tiempo.
- Por lo que para recuperar la información $x(t)$ se deberán aplicar restricciones similares.

Demodulador de frecuencia con tecnología digital (III)

- Si $T_m \leq 1/(\pi f_{\max})$

$$f_m \geq \pi \cdot f_{\max}$$

f_{\max} : Máxima frecuencia de la señal $x(t)$

$$\int_{(n-1)T_m}^{nT_m} x(\lambda) d\lambda \approx T_m x\left(t - \frac{T_m}{2}\right) \Big|_{t=nT_m} = T_m x\left(\left(n - \frac{1}{2}\right)T_m\right)$$

en cuyo caso $D(nT_m)$ puede aproximarse por:

$$D(nT_m) \approx A^2 \sin\left(2\pi f_d T_m x\left(\left(n - \frac{1}{2}\right)T_m\right)\right)$$

- Si $2\pi f_d T_m \leq 0.2$

$$f_m \geq 10\pi \cdot f_d$$

$$D(nT_m) \approx A^2 2\pi f_d T_m x\left(\left(n - \frac{1}{2}\right)T_m\right)$$

Recuperamos $x(t)$!!